

Computer-Aided VLSI System Design

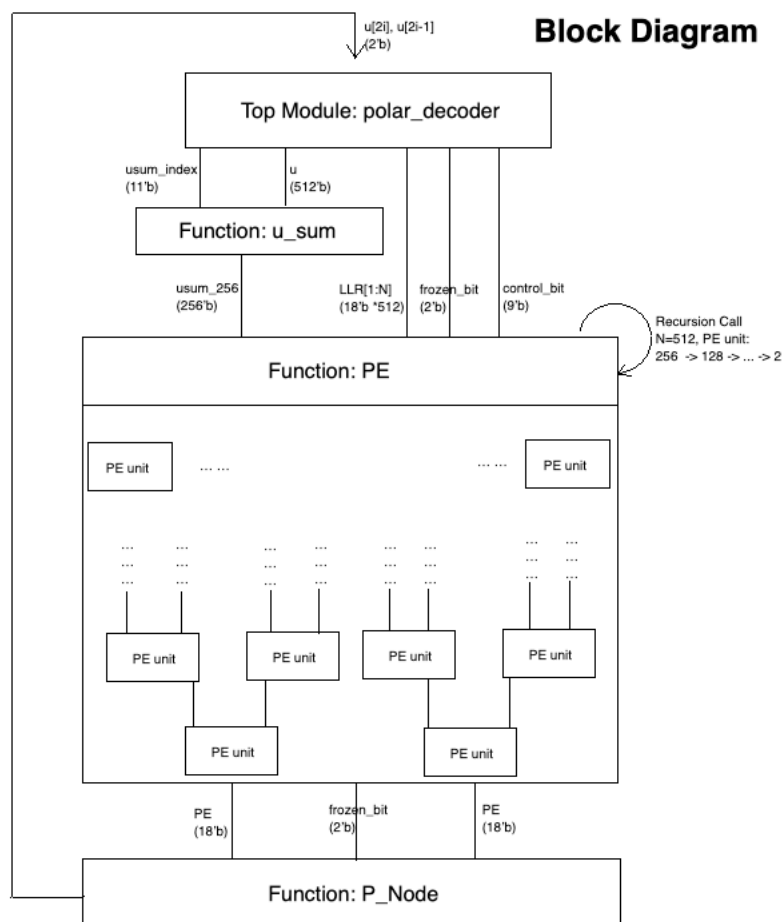
Final Project Report

Team IDs: 20

Student Names: 李杰銘 梁峻瑋

Questions and Discussion

1. 硬體架構圖 Block Diagram – 功能性基礎版



答：在”polar_decoder.v”部分，我參考了[1]這篇論文中提出的設計。具體來說，我使用了三個函數來完成 SC decoder 功能——”u_sum()”, ”pnode()”, ”PE()”。

首先，我們把兩兩成對的 $f()$, $g()$ 組合成一個 $PE()$ ，以及把最後一層和 $h()$ 組合成 $pnode()$ 。其次，我們額外設計一個 function $u_sum()$ ，從 counter 和 u 來模擬 $u[i]$ bit 之間做 xor 的規律，得到 usum 值。最後，我們把 usum 值和 LLR, control bit, frozen bit 一起丟給 pnode 函數，並且先交由多層 $PE()$ 迭代運算，再由最後一層 $pnode$ 輸出。這樣就得到一組 $\{u[2i], u[2i-1]\}$ 。

經過 $N/2$ 次依序的運算，以及在運算同時取出 non-frozen bit 的值，就能夠在運算完同時輸出到 DEC memory。並且完成 SC decoder 功能。可以參考下方左圖的 $N=8$ SC decoder 和下方右圖的[1]論文提出設計。

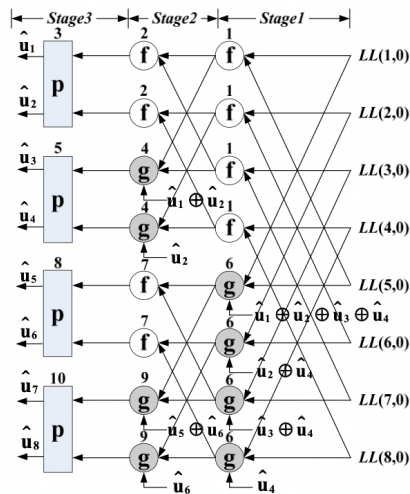


Fig. 2.5. The decoding procedure of 2b-SC algorithm with $n=8$.

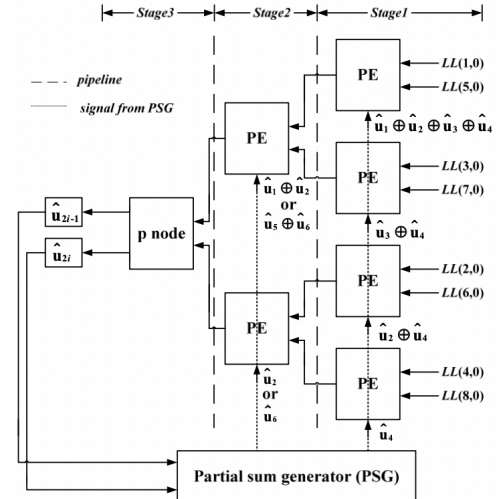


Fig. 2.8. The tree-based 2b-SC architecture with $n=8$.

2. 優化技巧 Optimization Technique

答：我們先講“功能性基礎版”的實作方式，再談後面兩個優化的動機和手法。

#2-1 實作方式——“功能性基礎版”

”功能性基礎版”的主要實作方法，就是用 look-up table 實作 function()。首先 `u_sum()` 分成 `usum_2`, `usum_4`, `usum_8`, ..., `usum_256`。例如，上方右圖的中間那排兩個 PE 的 input 就是 `usum_2` 和前一層 PE 結果，而前一層四個 PE 的 input 就是 `usum_4` 和 LLR。規律就是用 $(u[2*i-2], \dots, u[2*i-2-N+1])$ 和 kronecker matrix 做矩陣乘法。此外， $N=128$ 的 $\{u[2i], u[2i-1]\}$ ，也可以用 6 層 PE() 展開作為 `pnode` 的 input，來得到結果。

這樣做的動機，第一是考量到遞迴成本。以 gcc/g++ 的編譯器而言，如果我們實作 QuickSort，由於遞迴的 compiler framework 要傳遞變數，地址等等開銷，因此實務上需要 $O(\log n)$ 的 stack space [2]。依此類推，我們認為在 verilog 的編譯器中，使用 module 做遞迴，也會造成一定複雜度的額外開銷。第二，我們認為使用 bit operation & logic operation level 做運算，可以讓 IC Compiler 做到更優質的簡化。這個道理，就好比 C/C++ 的實作效能通常是 python 的數十倍，而組合語言的實作效能又比 C/C++ 更好。畢竟 compiler 先天上就是考慮到各種可能來優化，不同的表達方式和表達語言，會造成迥然不同的優化結果。

而能辦到這樣實作的原因，一方面是參考[1]的 `PE()` 結構，讓我們只需要設計一個結構，就能夠重複使用；二方面是因為用 `function` 實作，不需要受限於 `module` 的硬性規定，能夠手動展開來呼叫函數。

```

function [63:0] usum_64;
input [10:0] i;
input [512:0] u;
usum_64 =
    {u[2]-2*(u[2]-1)*u[2]-34, u[2]-2*(u[2]-1)*u[2]-18, u[2]-2*(u[2]-1)*u[2]-18)*u[2]-34)*u[2]-50, u[2]-2*(u[2]-1)*u[2]-10, u[2]-2*(u[2]-1)*u[2]-10)*u[2]-34)*u[2]-42, u[2]-2*(u[2]-1)*u[2]-10)*u[2]-1
    8)*u[2]-26, u[2]-2*(u[2]-1)*u[2]-10)*u[2]-18)*u[2]-26)*u[2]-34)*u[2]-42)*u[2]-50)*u[2]-58, u[2]-2*(u[2]-1)*u[2]-6, u[2]-2*(u[2]-1)*u[2]-6)*u[2]-34)*u[2]-38, u[2]-2*(u[2]-1)*u[2]-6)*u[2]-18)*u[2]-2
    2)*u[2]-22, u[2]-2*(u[2]-1)*u[2]-6)*u[2]-18)*u[2]-22)*u[2]-34)*u[2]-38)*u[2]-50)*u[2]-54, u[2]-2*(u[2]-1)*u[2]-6)*u[2]-10)*u[2]-14, u[2]-2*(u[2]-1)*u[2]-6)*u[2]-10)*u[2]-14)*u[2]-2
    2)*u[2]-34)*u[2]-38)*u[2]-42)*u[2]-46, u[2]-2*(u[2]-1)*u[2]-6)*u[2]-10)*u[2]-14)*u[2]-18)*u[2]-22)*u[2]-26)*u[2]-34)*u[2]-38)*u[2]-42)*u[2]-46)*u[2]-50)*u[2]-54)*u[2]-58)*u[2]-62, u[2]-2*(u[2]-1)*u[2]-
    4)*u[2]-18)*u[2]-20, u[2]-2*(u[2]-1)*u[2]-4)*u[2]-18)*u[2]-20)*u[2]-34)*u[2]-36)*u[2]-50)*u[2]-52, u[2]-2*(u[2]-1)*u[2]-4)*u[2]-10)*u[2]-12, u[2]-2*(u[2]-1)*u[2]-4)*u[2]-10)*u[2]-12)*u[2]-34)*u[2]-36)*u[2]-42)*u[2]-46)*u[2]-44, u[2]-2*(u[2]-1)*u[2]-4)*u[2]-10)*u[2]-12)*u[2]-18)*u[2]-20)*u[2]-26)*u[2]-30)*u[2]-28, u[2]-2*(u[2]-1)*u[2]-4)*u[2]-10)*u[2]-12)*u[2]-12)*u[2]-16)*u[2]-20)*u[2]-24)*u[2]-28)*u[2]-32)*u[2]-36)*u[2]-40)*u[2]-44)*u[2]-48, u[2]-2*(u[2]-1)*u[2]-4)*u[2]-8)*u[2]-10)*u[2]-8)*u[2]-10)*u[2]-12)*u[2]-14)*u[2]-16)*u[2]-18)*u[2]-20)*u[2]-22)*u[2]-24)*u[2]-26)*u[2]-28)*u[2]-30)*u[2]-32)*u[2]-34)*u[2]-36)*u[2]-38)*u[2]-40)*u[2]-42)*u[2]-44)*u[2]-46)*u[2]-48)*u[2]-50)*u[2]-52)*u[2]-54)*u[2]-56)*u[2]-58)*u[2]-60)*u[2]-62)*u[2]-64)*u[2]-66)*u[2]-68)*u[2]-70)*u[2]-72)*u[2]-74)*u[2]-76)*u[2]-78)*u[2]-80)*u[2]-82)*u[2]-84)*u[2]-86)*u[2]-88)*u[2]-90)*u[2]-92)*u[2]-94)*u[2]-96)*u[2]-98)*u[2]-100)*u[2]-102)*u[2]-104)*u[2]-106)*u[2]-108)*u[2]-110)*u[2]-112)*u[2]-114)*u[2]-116)*u[2]-118)*u[2]-120)*u[2]-122)*u[2]-124)*u[2]-126)*u[2]-128)*u[2]-130)*u[2]-132)*u[2]-134)*u[2]-136)*u[2]-138)*u[2]-140)*u[2]-142)*u[2]-144)*u[2]-146)*u[2]-148)*u[2]-150)*u[2]-152)*u[2]-154)*u[2]-156)*u[2]-158)*u[2]-160)*u[2]-162)*u[2]-164)*u[2]-166)*u[2]-168)*u[2]-170)*u[2]-172)*u[2]-174)*u[2]-176)*u[2]-178)*u[2]-180)*u[2]-182)*u[2]-184)*u[2]-186)*u[2]-188)*u[2]-190)*u[2]-192)*u[2]-194)*u[2]-196)*u[2]-198)*u[2]-200)*u[2]-202)*u[2]-204)*u[2]-206)*u[2]-208)*u[2]-210)*u[2]-212)*u[2]-214)*u[2]-216)*u[2]-218)*u[2]-220)*u[2]-222)*u[2]-224)*u[2]-226)*u[2]-228)*u[2]-230)*u[2]-232)*u[2]-234)*u[2]-236)*u[2]-238)*u[2]-240)*u[2]-242)*u[2]-244)*u[2]-246)*u[2]-248)*u[2]-250)*u[2]-252)*u[2]-254)*u[2]-256)*u[2]-258)*u[2]-260)*u[2]-262)*u[2]-264)*u[2]-266)*u[2]-268)*u[2]-270)*u[2]-272)*u[2]-274)*u[2]-276)*u[2]-278)*u[2]-280)*u[2]-282)*u[2]-284)*u[2]-286)*u[2]-288)*u[2]-290)*u[2]-292)*u[2]-294)*u[2]-296)*u[2]-298)*u[2]-300)*u[2]-302)*u[2]-304)*u[2]-306)*u[2]-308)*u[2]-310)*u[2]-312)*u[2]-314)*u[2]-316)*u[2]-318)*u[2]-320)*u[2]-322)*u[2]-324)*u[2]-326)*u[2]-328)*u[2]-330)*u[2]-332)*u[2]-334)*u[2]-336)*u[2]-338)*u[2]-340)*u[2]-342)*u[2]-344)*u[2]-346)*u[2]-348)*u[2]-350)*u[2]-352)*u[2]-354)*u[2]-356)*u[2]-358)*u[2]-360)*u[2]-362)*u[2]-364)*u[2]-366)*u[2]-368)*u[2]-370)*u[2]-372)*u[2]-374)*u[2]-376)*u[2]-378)*u[2]-380)*u[2]-382)*u[2]-384)*u[2]-386)*u[2]-388)*u[2]-390)*u[2]-392)*u[2]-394)*u[2]-396)*u[2]-398)*u[2]-400)*u[2]-402)*u[2]-404)*u[2]-406)*u[2]-408)*u[2]-410)*u[2]-412)*u[2]-414)*u[2]-416)*u[2]-418)*u[2]-420)*u[2]-422)*u[2]-424)*u[2]-426)*u[2]-428)*u[2]-430)*u[2]-432)*u[2]-434)*u[2]-436)*u[2]-438)*u[2]-440)*u[2]-442)*u[2]-444)*u[2]-446)*u[2]-448)*u[2]-450)*u[2]-452)*u[2]-454)*u[2]-456)*u[2]-458)*u[2]-460)*u[2]-462)*u[2]-464)*u[2]-466)*u[2]-468)*u[2]-470)*u[2]-472)*u[2]-474)*u[2]-476)*u[2]-478)*u[2]-480)*u[2]-482)*u[2]-484)*u[2]-486)*u[2]-488)*u[2]-490)*u[2]-492)*u[2]-494)*u[2]-496)*u[2]-498)*u[2]-500)*u[2]-502)*u[2]-504)*u[2]-506)*u[2]-508)*u[2]-510)*u[2]-512)*u[2]-514)*u[2]-516)*u[2]-518)*u[2]-520)*u[2]-522)*u[2]-524)*u[2]-526)*u[2]-528)*u[2]-530)*u[2]-532)*u[2]-534)*u[2]-536)*u[2]-538)*u[2]-540)*u[2]-542)*u[2]-544)*u[2]-546)*u[2]-548)*u[2]-550)*u[2]-552)*u[2]-554)*u[2]-556)*u[2]-558)*u[2]-560)*u[2]-562)*u[2]-564)*u[2]-566)*u[2]-568)*u[2]-570)*u[2]-572)*u[2]-574)*u[2]-576)*u[2]-578)*u[2]-580)*u[2]-582)*u[2]-584)*u[2]-586)*u[2]-588)*u[2]-590)*u[2]-592)*u[2]-594)*u[2]-596)*u[2]-598)*u[2]-600)*u[2]-602)*u[2]-604)*u[2]-606)*u[2]-608)*u[2]-610)*u[2]-612)*u[2]-614)*u[2]-616)*u[2]-618)*u[2]-620)*u[2]-622)*u[2]-624)*u[2]-626)*u[2]-628)*u[2]-630)*u[2]-632)*u[2]-634)*u[2]-636)*u[2]-638)*u[2]-640)*u[2]-642)*u[2]-644)*u[2]-646)*u[2]-648)*u[2]-650)*u[2]-652)*u[2]-654)*u[2]-656)*u[2]-658)*u[2]-660)*u[2]-662)*u[2]-664)*u[2]-666)*u[2]-668)*u[2]-670)*u[2]-672)*u[2]-674)*u[2]-676)*u[2]-678)*u[2]-680)*u[2]-682)*u[2]-684)*u[2]-686)*u[2]-688)*u[2]-690)*u[2]-692)*u[2]-694)*u[2]-696)*u[2]-698)*u[2]-700)*u[2]-702)*u[2]-704)*u[2]-706)*u[2]-708)*u[2]-710)*u[2]-712)*u[2]-714)*u[2]-716)*u[2]-718)*u[2]-720)*u[2]-722)*u[2]-724)*u[2]-726)*u[2]-728)*u[2]-730)*u[2]-732)*u[2]-734)*u[2]-736)*u[2]-738)*u[2]-740)*u[2]-742)*u[2]-744)*u[2]-746)*u[2]-748)*u[2]-750)*u[2]-752)*u[2]-754)*u[2]-756)*u[2]-758)*u[2]-760)*u[2]-762)*u[2]-764)*u[2]-766)*u[2]-768)*u[2]-770)*u[2]-772)*u[2]-774)*u[2]-776)*u[2]-778)*u[2]-780)*u[2]-782)*u[2]-784)*u[2]-786
```

```

wire [(LLR_bit-1):0] input1_128 =
PE(PE(PE(PE(PE(LLR[1],LLR[65],u_counter[5],usum64[0]),PE(LLR[33],LLR[97],u_counter[5],usum64[1]),u_counter[4],usum32[0]),PE(PE(LLR[17],LLR[81],u_counter[5],usum64[2]),PE(LLR[49],LLR[113],u_counter[5],usum64[3]),u_counter[4],usum32[1]),u_counter[3],usum16[0]),PE(PE(PE(LLR[9],LLR[73],u_counter[5],usum64[4]),PE(LLR[41],LLR[105],u_counter[5],usum64[5]),u_counter[4],usum32[2]),PE(PE(LLR[25],LLR[89],u_counter[5],usum64[6]),PE(LLR[57],LLR[121],u_counter[5],usum64[7]),u_counter[4],usum32[3]),u_counter[3],usum16[1]),u_counter[2],usum8[0]),PE(PE(PE(LLR[5],LLR[69],u_counter[5],usum64[8]),PE(LLR[37],LLR[101],u_counter[5],usum64[9]),u_counter[4],usum32[4]),PE(PE(LLR[21],LLR[85],u_counter[5],usum64[10]),PE(LLR[53],LLR[117],u_counter[5],usum64[11]),u_counter[4],usum32[5]),u_counter[3],usum16[2]),PE(PE(PE(LLR[13],LLR[77],u_counter[5],usum64[12]),PE(LLR[45],LLR[109],u_counter[5],usum64[13]),u_counter[4],usum32[6]),PE(PE(LLR[29],LLR[93],u_counter[5],usum64[14]),PE(LLR[61],LLR[125],u_counter[5],usum64[15]),u_counter[4],usum32[7]),u_counter[3],usum16[3]),u_counter[2],usum8[1]),u_counter[1],usum4[0]),PE(PE(PE(PE(LLR[13],LLR[67],u_counter[5],usum64[16]),PE(LLR[35],LLR[99],u_counter[5],usum64[17]),u_counter[4],usum32[8]),PE(PE(LLR[19],LLR[83],u_counter[5],usum64[18]),PE(LLR[51],LLR[115],u_counter[5],usum64[19]),u_counter[4],usum32[9]),u_counter[3],usum16[4]),PE(PE(PE(LLR[11],LLR[75],u_counter[5],usum64[20]),PE(LLR[43],LLR[107],u_counter[5],usum64[21]),u_counter[4],usum32[10]),PE(PE(LLR[27],LLR[91],u_counter[5],usum64[22]),PE(LLR[59],LLR[123],u_counter[5],usum64[23]),u_counter[4],usum32[11]),u_counter[3],usum16[5]),u_counter[2],usum8[2]),PE(PE(PE(PE(LLR[7],LLR[71],u_counter[5],usum64[24]),PE(LLR[39],LLR[103],u_counter[5],usum64[25]),u_counter[4],usum32[12]),PE(PE(LLR[23],LLR[87],u_counter[5],usum64[26]),PE(LLR[55],LLR[119],u_counter[5],usum64[27]),u_counter[4],usum32[13]),u_counter[3],usum16[6]),PE(PE(PE(LLR[15],LLR[79],u_counter[5],usum64[28]),PE(LLR[47],LLR[111],u_counter[5],usum64[29]),u_counter[4],usum32[14]),PE(PE(LLR[31],LLR[95],u_counter[5],usum64[30]),PE(LLR[63],LLR[127],u_counter[5],usum64[31]),u_counter[4],usum32[15]),u_counter[3],usum16[7]),u_counter[2],usum8[3]),u_counter[1],usum4[1]),u_counter[0],usum2[0]);

wire [(LLR_bit-1):0] input2_128 =
PE(PE(PE(PE(PE(LLR[2],LLR[66],u_counter[5],usum64[32]),PE(LLR[34],LLR[98],u_counter[5],usum64[33]),u_counter[4],usum32[16]),PE(PE(LLR[18],LLR[82],u_counter[5],usum64[34]),PE(LLR[50],LLR[114],u_counter[5],usum64[35]),u_counter[4],usum32[17]),u_counter[3],usum16[8]),PE(PE(PE(LLR[10],LLR[74],u_counter[5],usum64[36]),PE(LLR[42],LLR[106],u_counter[5],usum64[37]),u_counter[4],usum32[18]),PE(PE(LLR[26],LLR[90],u_counter[5],usum64[38]),PE(LLR[58],LLR[122],u_counter[5],usum64[39]),u_counter[4],usum32[19]),u_counter[3],usum16[9]),u_counter[2],usum8[4]),PE(PE(PE(PE(LLR[6],LLR[70],u_counter[5],usum64[40]),PE(LLR[38],LLR[102],u_counter[5],usum64[41]),u_counter[4],usum32[20]),PE(PE(LLR[22],LLR[86],u_counter[5],usum64[42]),PE(LLR[54],LLR[118],u_counter[5],usum64[43]),u_counter[4],usum32[21]),u_counter[3],usum16[10]),PE(PE(PE(PE(LLR[14],LLR[78],u_counter[5],usum64[44]),PE(LLR[46],LLR[110],u_counter[5],usum64[45]),u_counter[4],usum32[22]),PE(PE(LLR[30],LLR[94],u_counter[5],usum64[46]),PE(LLR[62],LLR[126],u_counter[5],usum64[47]),u_counter[4],usum32[23]),u_counter[3],usum16[11]),u_counter[2],usum8[5]),u_counter[1],usum4[2]),PE(PE(PE(PE(LLR[4],LLR[68],u_counter[5],usum64[48]),PE(LLR[36],LLR[100],u_counter[5],usum64[49]),u_counter[4],usum32[24]),PE(PE(LLR[20],LLR[84],u_counter[5],usum64[50]),PE(LLR[52],LLR[116],u_counter[5],usum64[51]),u_counter[4],usum32[25]),u_counter[3],usum16[12]),PE(PE(PE(LLR[12],LLR[76],u_counter[5],usum64[52]),PE(LLR[44],LLR[108],u_counter[5],usum64[53]),u_counter[4],usum32[26]),PE(PE(LLR[28],LLR[92],u_counter[5],usum64[54]),PE(LLR[60],LLR[124],u_counter[5],usum64[55]),u_counter[4],usum32[27]),u_counter[3],usum16[13]),u_counter[2],usum8[6]),PE(PE(PE(PE(LLR[8],LLR[72],u_counter[5],usum64[56]),PE(LLR[40],LLR[104],u_counter[5],usum64[57]),u_counter[4],usum32[28]),PE(PE(LLR[24],LLR[88],u_counter[5],usum64[58]),PE(LLR[56],LLR[120],u_counter[5],usum64[59]),u_counter[4],usum32[29]),u_counter[3],usum16[14]),PE(PE(PE(LLR[16],LLR[80],u_counter[5],usum64[60]),PE(LLR[48],LLR[112],u_counter[5],usum64[61]),u_counter[4],usum32[30]),PE(PE(LLR[32],LLR[96],u_counter[5],usum64[62]),PE(LLR[64],LLR[128],u_counter[5],usum64[63]),u_counter[4],usum32[31]),u_counter[3],usum16[15]),u_counter[2],usum8[7]),u_counter[1],usum4[3]),u_counter[0],usum2[1]);

```

#2-2 記憶體使用量優化

優化記憶體使用量的動機，是因為我們使用了 look-up table 直接把所有功能做成 bit-level operation。所以，在 synthesis 讀檔時，我們會因為工作站的記憶體空間不足，而被砍掉任務。雖然工作站空間的狀態下，有機會能合成，但考量到最後幾天的狀況，我們決定轉而優化記憶體使用量。

首先，在 usum_2, usum_4, usum_8, ..., usum_256 函數部分，我們做了兩件事。第一，我們發現 usum_256 的偶數位元組成 usum_128, usum_128 的偶數位元組成 usum_64, ..., 依此類推。因此，我們只需要保留一個 usum_256 的 look-up table，並且適當的 output corresponding bits 就好。其次，雖然給定回合數 i，我們可以輸出對應的 $usum_2^{power(i)}$ 值，但把變數作為 index 會造成過多的 mux。因此，我們決定把 u 在第 i 回合定義成 $\{u[2i], u[2i-1], u[2i-2], \dots, u[2i+1]\}$ ，每個回合做出下圖這樣的迭代方式。這樣一來，就可以用常數組成的 look-up table 來計算 $usum_2^{power}$ 。

```

assign pnode_128 = pnode(input1_128, input2_128, frozen[counter], frozen[counter+1]);
assign pnode_256 = pnode(input1_256, input2_256, frozen[counter], frozen[counter+1]);
assign pnode_512 = pnode(input1_512, input2_512, frozen[counter], frozen[counter+1]);
assign pnode_N = (N==128) ? pnode_128 : (N==256) ? pnode_256 : pnode_512;

always @(posedge clk or negedge rst_n) begin
    if(!rst_n)
        u <= 0;
    else if(state==DONE)
        u <= 0;
    else if(state==DECODE && counter[0]==0 && counter<N)
        u <= {pnode_N,u[255:2]};
    else
        u <= u;
end

assign usum_32 =
{usum_256[255],usum_256[247],usum_256[239],usum_256[231],usum_256[223],usum_256[215],usum_256[207],usum_256[199],usum_256[191],usum_256[183],usum_256[175],usum_256[167],usum_256[159],usum_256[151],usum_256[143],usum_256[135],usum_256[127],usum_256[119],usum_256[111],usum_256[103],usum_256[95],usum_256[87],usum_256[79],usum_256[71],usum_256[63],usum_256[55],usum_256[47],usum_256[39],usum_256[31],usum_256[23],usum_256[15],usum_256[7]};
assign usum_16 =
{usum_256[255],usum_256[239],usum_256[223],usum_256[207],usum_256[191],usum_256[175],usum_256[159],usum_256[143],usum_256[127],usum_256[111],usum_256[95],usum_256[79],usum_256[63],usum_256[47],usum_256[31],usum_256[15]};
assign usum_8 = {usum_256[255],usum_256[223],usum_256[191],usum_256[159],usum_256[127],usum_256[95],usum_256[63],usum_256[31]};
assign usum_4 = {usum_256[255],usum_256[191],usum_256[127],usum_256[63]};
assign usum_2 = {usum_256[255],usum_256[127]};

```


其次，在 LLR 讀入部分，我們也可以用類似手段，避免掉變數出現在 index 的窘境，讓編譯器的優化更上一層樓。換言之，為了避免編譯器處理棘手的 for loop 展開+register as index of register，我們再度選擇手動展開，來達到最佳的記憶體空間使用量。

```
case (counter) // synopsys full_case
2: begin for(i=1; i<=16; i=i+1) LLR[i]      <={{(LLR_bit-12){in_data[(i*12-1)]}}, in_data[(i*12-1) -: 12]}; end
3: begin for(i=1; i<=16; i=i+1) LLR[i+16]  <={{(LLR_bit-12){in_data[(i*12-1)]}}, in_data[(i*12-1) -: 12]}; end
4: begin for(i=1; i<=16; i=i+1) LLR[i+32]  <={{(LLR_bit-12){in_data[(i*12-1)]}}, in_data[(i*12-1) -: 12]}; end
5: begin for(i=1; i<=16; i=i+1) LLR[i+48]  <={{(LLR_bit-12){in_data[(i*12-1)]}}, in_data[(i*12-1) -: 12]}; end
6: begin for(i=1; i<=16; i=i+1) LLR[i+64]  <={{(LLR_bit-12){in_data[(i*12-1)]}}, in_data[(i*12-1) -: 12]}; end
7: begin for(i=1; i<=16; i=i+1) LLR[i+80]  <={{(LLR_bit-12){in_data[(i*12-1)]}}, in_data[(i*12-1) -: 12]}; end
8: begin for(i=1; i<=16; i=i+1) LLR[i+96]  <={{(LLR_bit-12){in_data[(i*12-1)]}}, in_data[(i*12-1) -: 12]}; end
9: begin for(i=1; i<=16; i=i+1) LLR[i+112] <={{(LLR_bit-12){in_data[(i*12-1)]}}, in_data[(i*12-1) -: 12]}; end
10: begin for(i=1; i<=16; i=i+1) LLR[i+128] <={{(LLR_bit-12){in_data[(i*12-1)]}}, in_data[(i*12-1) -: 12]}; end
11: begin for(i=1; i<=16; i=i+1) LLR[i+144] <={{(LLR_bit-12){in_data[(i*12-1)]}}, in_data[(i*12-1) -: 12]}; end
12: begin for(i=1; i<=16; i=i+1) LLR[i+160] <={{(LLR_bit-12){in_data[(i*12-1)]}}, in_data[(i*12-1) -: 12]}; end
13: begin for(i=1; i<=16; i=i+1) LLR[i+176] <={{(LLR_bit-12){in_data[(i*12-1)]}}, in_data[(i*12-1) -: 12]}; end
14: begin for(i=1; i<=16; i=i+1) LLR[i+192] <={{(LLR_bit-12){in_data[(i*12-1)]}}, in_data[(i*12-1) -: 12]}; end
15: begin for(i=1; i<=16; i=i+1) LLR[i+208] <={{(LLR_bit-12){in_data[(i*12-1)]}}, in_data[(i*12-1) -: 12]}; end
16: begin for(i=1; i<=16; i=i+1) LLR[i+224] <={{(LLR_bit-12){in_data[(i*12-1)]}}, in_data[(i*12-1) -: 12]}; end
17: begin for(i=1; i<=16; i=i+1) LLR[i+240] <={{(LLR_bit-12){in_data[(i*12-1)]}}, in_data[(i*12-1) -: 12]}; end
18: begin for(i=1; i<=16; i=i+1) LLR[i+256] <={{(LLR_bit-12){in_data[(i*12-1)]}}, in_data[(i*12-1) -: 12]}; end
19: begin for(i=1; i<=16; i=i+1) LLR[i+272] <={{(LLR_bit-12){in_data[(i*12-1)]}}, in_data[(i*12-1) -: 12]}; end
20: begin for(i=1; i<=16; i=i+1) LLR[i+288] <={{(LLR_bit-12){in_data[(i*12-1)]}}, in_data[(i*12-1) -: 12]}; end
21: begin for(i=1; i<=16; i=i+1) LLR[i+304] <={{(LLR_bit-12){in_data[(i*12-1)]}}, in_data[(i*12-1) -: 12]}; end
22: begin for(i=1; i<=16; i=i+1) LLR[i+320] <={{(LLR_bit-12){in_data[(i*12-1)]}}, in_data[(i*12-1) -: 12]}; end
23: begin for(i=1; i<=16; i=i+1) LLR[i+336] <={{(LLR_bit-12){in_data[(i*12-1)]}}, in_data[(i*12-1) -: 12]}; end
24: begin for(i=1; i<=16; i=i+1) LLR[i+352] <={{(LLR_bit-12){in_data[(i*12-1)]}}, in_data[(i*12-1) -: 12]}; end
25: begin for(i=1; i<=16; i=i+1) LLR[i+368] <={{(LLR_bit-12){in_data[(i*12-1)]}}, in_data[(i*12-1) -: 12]}; end
26: begin for(i=1; i<=16; i=i+1) LLR[i+384] <={{(LLR_bit-12){in_data[(i*12-1)]}}, in_data[(i*12-1) -: 12]}; end
27: begin for(i=1; i<=16; i=i+1) LLR[i+400] <={{(LLR_bit-12){in_data[(i*12-1)]}}, in_data[(i*12-1) -: 12]}; end
28: begin for(i=1; i<=16; i=i+1) LLR[i+416] <={{(LLR_bit-12){in_data[(i*12-1)]}}, in_data[(i*12-1) -: 12]}; end
29: begin for(i=1; i<=16; i=i+1) LLR[i+432] <={{(LLR_bit-12){in_data[(i*12-1)]}}, in_data[(i*12-1) -: 12]}; end
30: begin for(i=1; i<=16; i=i+1) LLR[i+448] <={{(LLR_bit-12){in_data[(i*12-1)]}}, in_data[(i*12-1) -: 12]}; end
31: begin for(i=1; i<=16; i=i+1) LLR[i+464] <={{(LLR_bit-12){in_data[(i*12-1)]}}, in_data[(i*12-1) -: 12]}; end
32: begin for(i=1; i<=16; i=i+1) LLR[i+480] <={{(LLR_bit-12){in_data[(i*12-1)]}}, in_data[(i*12-1) -: 12]}; end
33: begin for(i=1; i<=16; i=i+1) LLR[i+496] <={{(LLR_bit-12){in_data[(i*12-1)]}}, in_data[(i*12-1) -: 12]}; end
endcase
```

#2-3 邏輯優化

雖然在 systemverilog 裡，可以使用 constant array (localparam) 來內建按照 reliability index 的頻道排序；然而，在 verilog 中，據我所知，我們只能使用 register array，並且在改變 N 值時決定對應的頻道排序。這將會合成為一個 10*512 bits 的 flip flop！

不過，考慮到 K≤140 的題目規範，我們第一步就可以把這個 register array 砍到 10*140 bits，減少 73% 的 bits 數，自然同時優化 area, power, cycle time threshold。進一步沿著這個思路，由於我們是使用 register array 來決定 frozen bit 是 0 或是 1，我們甚至能直接用 boolean operation 寫出 512 個 frozen bits 的邏輯判斷。換句話說，我們用 boolean operation 就取代掉一個 5120 bits 的 flip flop！如同下圖所示意。

```

if(!rst_n) begin
    for(i=0; i<512; i=i+1)
        frozen[i] <= 1;
end else begin
    frozen[0] <= ( (N==128 && K>=128) ) ? 0 : 1;
    frozen[1] <= ( (N==128 && K>=127) ) ? 0 : 1;
    frozen[2] <= ( (N==128 && K>=126) ) ? 0 : 1;
    frozen[3] <= ( (N==128 && K>=124) ) ? 0 : 1;
    frozen[4] <= ( (N==128 && K>=120) ) ? 0 : 1;
    frozen[5] <= ( (N==128 && K>=112) ) ? 0 : 1;
    frozen[6] <= ( (N==128 && K>=96) ) ? 0 : 1;
    frozen[7] <= ( (N==128 && K>=125) ) ? 0 : 1;
    frozen[8] <= ( (N==128 && K>=123) ) ? 0 : 1;
    frozen[9] <= ( (N==128 && K>=64) ) ? 0 : 1;
    frozen[10] <= ( (N==128 && K>=119) ) ? 0 : 1;
    frozen[11] <= ( (N==128 && K>=122) ) ? 0 : 1;
    frozen[12] <= ( (N==128 && K>=111) ) ? 0 : 1;
    frozen[13] <= ( (N==128 && K>=118) ) ? 0 : 1;
    frozen[14] <= ( (N==128 && K>=110) ) ? 0 : 1;
    frozen[15] <= ( (N==128 && K>=116) || (N==256 && K>=128) ) ? 0 : 1;
    frozen[16] <= ( (N==128 && K>=95) ) ? 0 : 1;
    frozen[17] <= ( (N==128 && K>=63) ) ? 0 : 1;
    frozen[18] <= ( (N==128 && K>=108) ) ? 0 : 1;
    frozen[19] <= ( (N==128 && K>=94) ) ? 0 : 1;
    frozen[20] <= ( (N==128 && K>=104) ) ? 0 : 1;
    frozen[21] <= ( (N==128 && K>=92) ) ? 0 : 1;
    frozen[22] <= ( (N==128 && K>=121) ) ? 0 : 1;
    frozen[23] <= ( (N==128 && K>=62) ) ? 0 : 1;
    frozen[24] <= ( (N==128 && K>=117) || (N==256 && K>=127) ) ? 0 : 1;
    frozen[25] <= ( (N==128 && K>=88) ) ? 0 : 1;
    frozen[26] <= ( (N==128 && K>=60) ) ? 0 : 1;
    frozen[27] <= ( (N==128 && K>=109) ) ? 0 : 1;
    frozen[28] <= ( (N==128 && K>=115) ) ? 0 : 1;
    frozen[29] <= ( (N==128 && K>=80) || (N==256 && K>=126) ) ? 0 : 1;
    frozen[30] <= ( (N==128 && K>=114) ) ? 0 : 1;
    frozen[31] <= ( (N==128 && K>=56) ) ? 0 : 1;

```

3. 技巧使用後的 PPA 比較/理論比較

首先，在” 功能性基礎版”中，我們可以達到演算法上的最少回合數。因為，姑且不考慮 input 和遞迴實作，我們至少要花費一個回合來計算 $u[2i], u[2i-1]$ 的結果。然而，因為我們使用 $u_sum()$ 和 $PE()$ 的 look-up table。所以我們也確實只花費一個回合就達成。然而，考量到 critical path，我們決定把 $usum()$ 和 $pnode()$ 拆分到奇數回合和偶數回合做計算，讓 critical path 砍到接近對半。從下圖的 state machine，就可以算出我們的回合數。

```
always @(*) begin
  case(state)
    IDLE: state_nxt = (en) ? SUB : IDLE;
    SUB: state_nxt = SUB2;
    SUB2: state_nxt = READ;
    READ: state_nxt = (counter == 33) ? DECODE: READ;
    DECODE: state_nxt = (counter == N-1) ? DONE : DECODE;
    DONE: state_nxt = SUB;
    default: state_nxt = IDLE;
  endcase
end
```

其次，在第一階段的優化中，我們從原先無法在 synthesis 開頭階段成功把 DESIGN 讀入，優化到能夠在 5 分鐘內成功讀入，並且在大約 4.5 小時的時間內把 DESIGN 成功合成。在這一版本的合成結果，以 Baseline 為準，cycle count 為 10079 次、cycle time 為 100ns (slack 約 30ns)、power 大約是 1e-2 mW、die area 大約是 5.4 億。

最後，在第二階段的優化中，我們不但減少了一個 5120 bits 的 flip flop，更避免了 register as register index 的窘境(Ex: frozen[sortedCH[i]] for i in range(0,K))。這也將大幅加速了讀取檔案的速度和編譯的難度。在這個階段，我們只要幾秒鐘就能成功讀入檔案，並且在大約 12.5 小時的時間內把 DESIGN 成功合成，編譯時間拉長是因為 cycle time 抓比較嚴格。在這一版本的合成結果，以 Baseline 為準，cycle count 為 10079 次、cycle time 為 50ns (slack 約 0.13ns)、power 大約是 13 mW、die area 大約是 3782 萬、core area 大約是 361 萬。

Reference:

- [1] Yuan, Bo. *Algorithm and VLSI Architecture for polar codes decoder*. Diss. University of Minnesota, 2015.
- [2] [Sorting algorithm - Wikipedia](#)